

Introduction aux Ondelettes



Luc Claustres

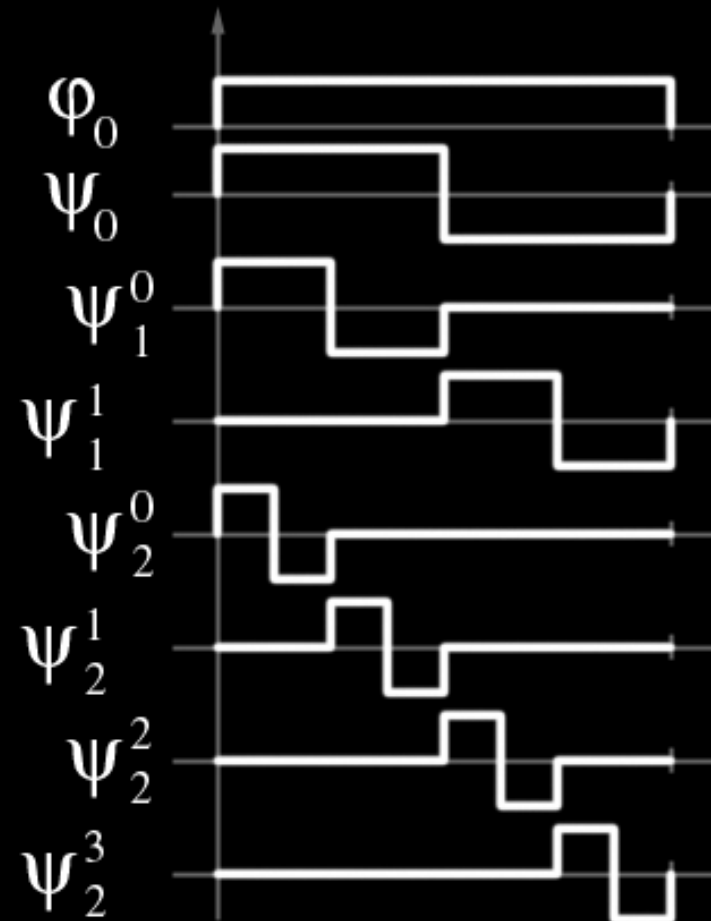
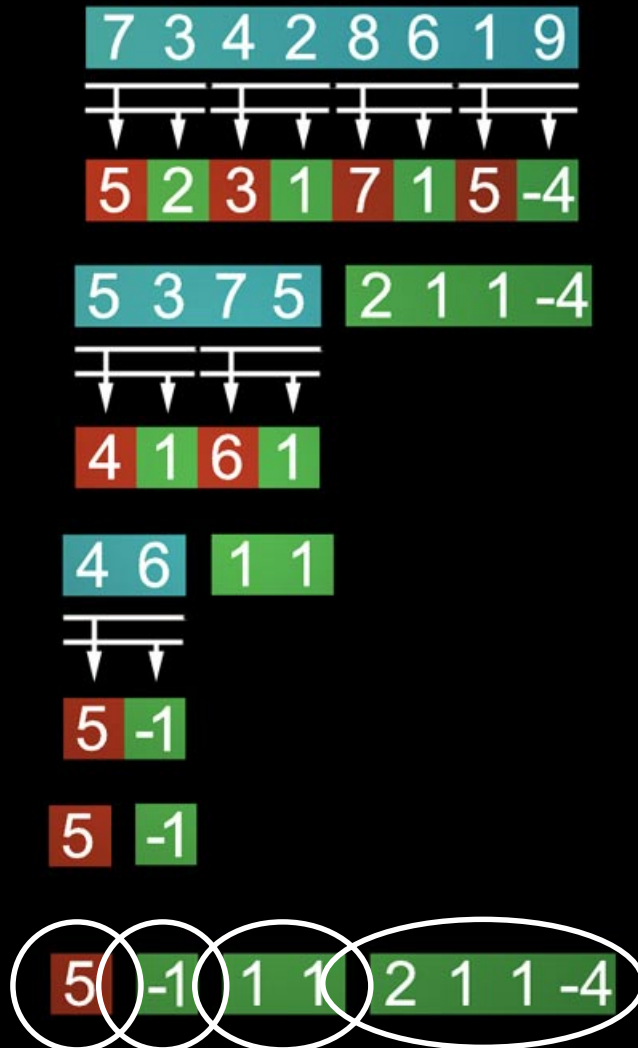
claustre@irit.fr

DESS2IN 2002-2003

Un peu d'histoire

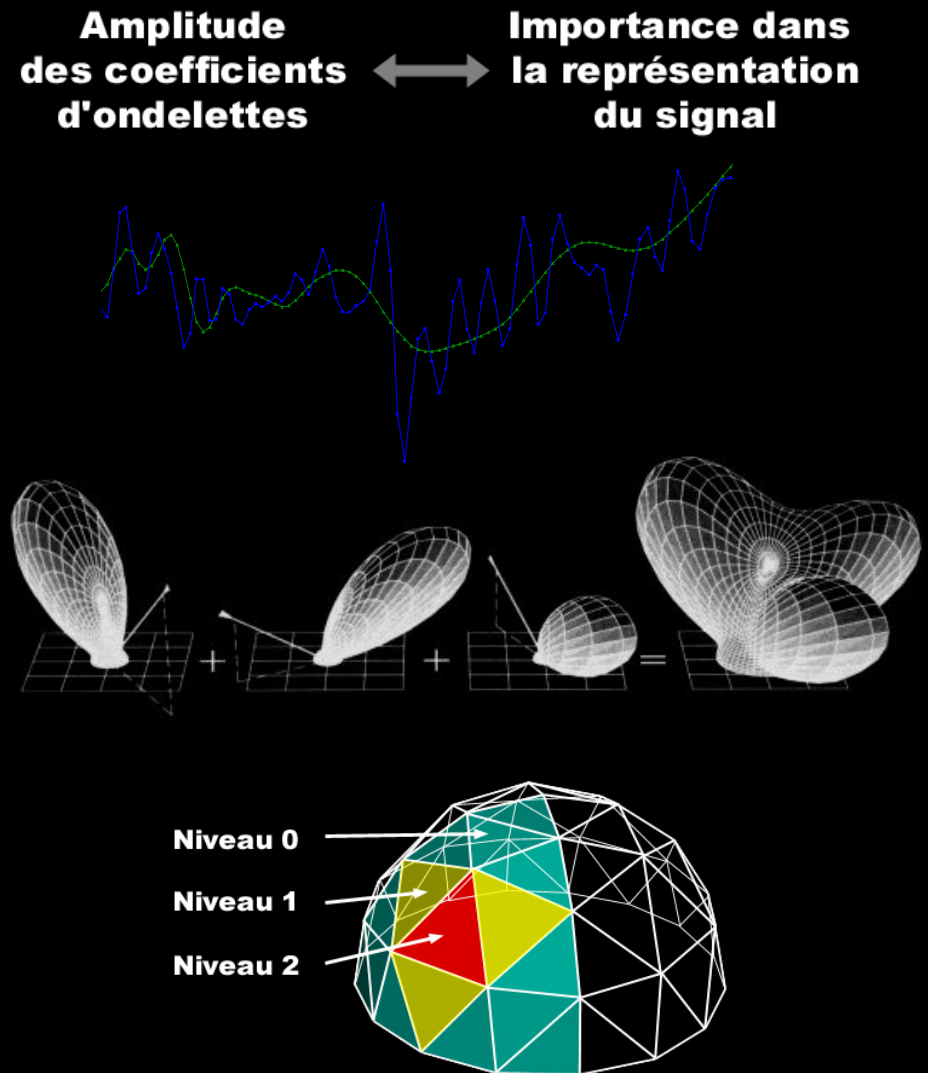
- 1805 : Analyse de Fourier
- 1965 : Transformée de Fourier rapide
- 1980 : Début des ondelettes « *ad hoc* »
pourquoi/quand cela marche (physique, vision, parole) ?
- 1983 : Analyse d'image multirésolution (Burt)
- 1985 : Transformée continue (Morlet & Grossman)
reconstruction sans redondance ?
- 1986-87 : Unification des travaux disparates (Mallat)
 - analyse multirésolution
 - transformée discrète
- 1988 : Classe d'ondelettes (Daubechies)
 - compactes
 - orthogonales
 - nombre de moments quelconques
- 1990 : Les ondelettes attirent théoriciens et ingénieurs, le décollage !
- 1992 : Paquets d'ondelettes (Coifman)

Ondelettes par la pratique



Transformation finale

- Compression
- Débruitage
- Linéarité
- Multirésolution



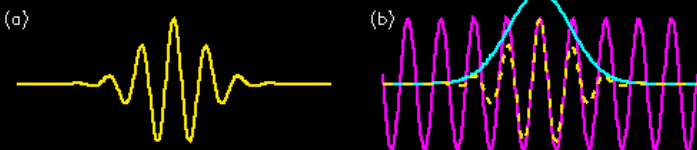
Quelques remarques

- Pourquoi compresser ?
 - Image : $512 \times 512 \Rightarrow 0.75\text{Mo}$ - pellicule 35mm/12 $\mu\text{m} \Rightarrow 18\text{Mo}$
 - Vidéo : 1s de PAL $\Rightarrow 27\text{Mo}$
 - De + en + de données numériques
- Pourquoi multirésolution ?
 - Simplification des calculs
 - Transmission/Reconstruction progressive
- Pourquoi linéaire ?
 - Calculs direct sur la transformée (compressée)
- Pourquoi ça marche ?
 - Les données réelles sont généralement corrélées *localement*
(fréquence, temps, espace)

- Une fonction est dite *ondelette* ou *ondelette mère* si

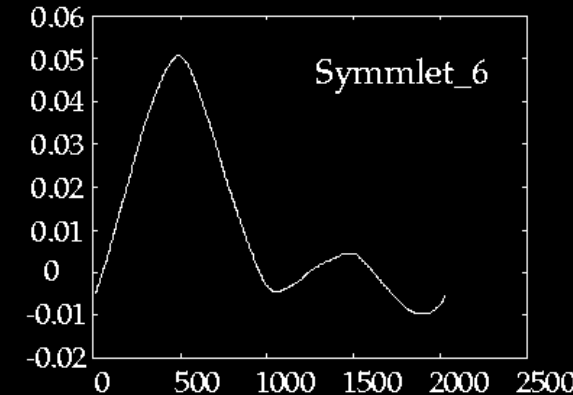
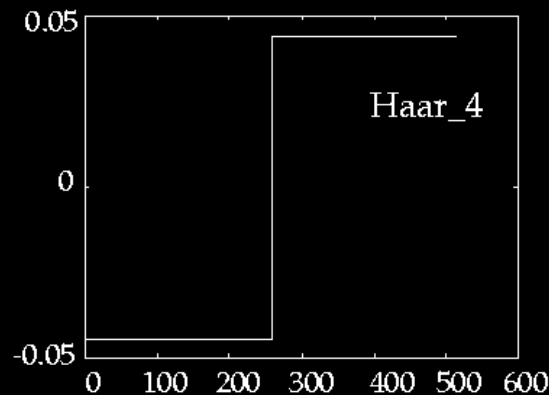
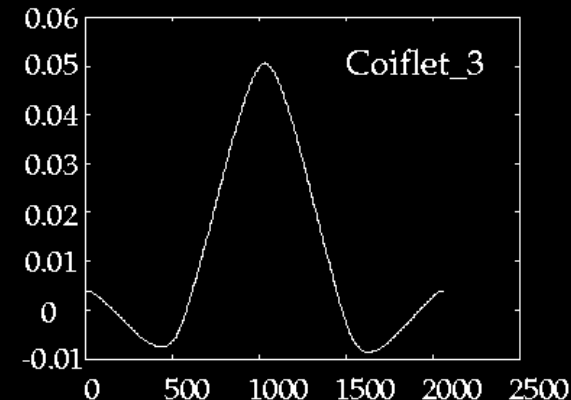
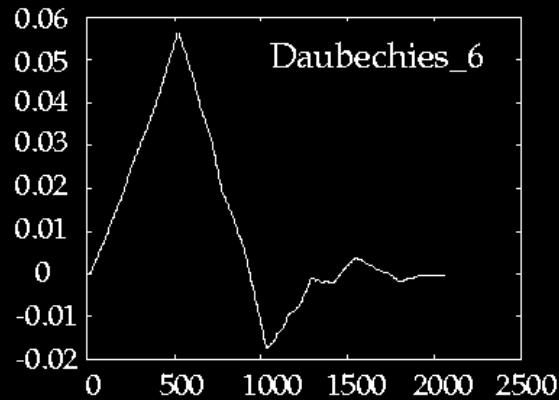
$$\int_{-\infty}^{\infty} \psi(t) dt = 0$$

(ondulations)



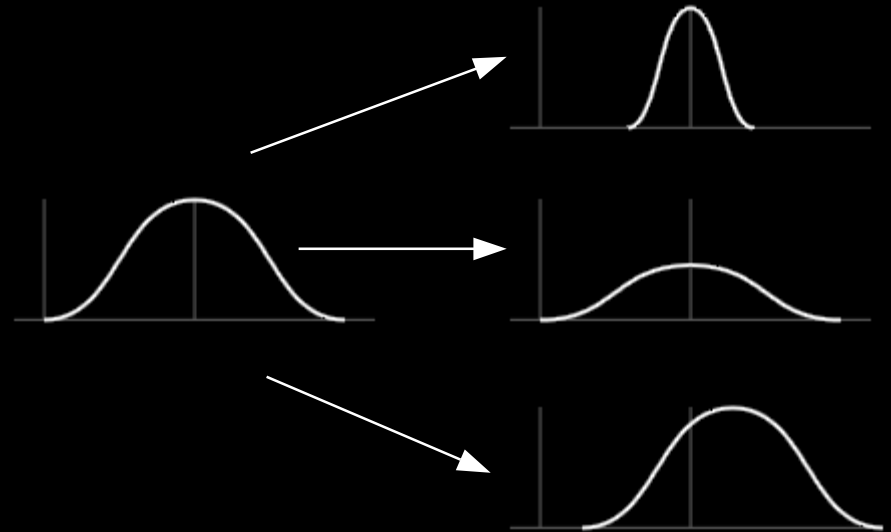
$$\int_{-\infty}^{\infty} |\psi(t)|^2 dt < \infty$$

(énergie finie)



- On appelle *atomes*

$$\psi_s^u(t) = \frac{1}{\sqrt{|s|}} \psi\left(\frac{t-u}{s}\right)$$



- Transformée

$$f^*(u, s) = \langle f, \psi_s^u \rangle = \int_{-\infty}^{+\infty} f(t) \frac{1}{\sqrt{|s|}} \psi\left(\frac{t-u}{s}\right) dt$$

- Transformée inverse

$$f(t) = \frac{1}{C} \int_{a=-\infty}^{+\infty} \int_{b=-\infty}^{+\infty} \frac{1}{|s|^2} f^*(u, s) \psi_s^u(t) da db$$

$$C = \int_{-\infty}^{+\infty} \frac{|\psi(\omega)|^2}{|\omega|} d\omega < \infty$$

condition d'admission

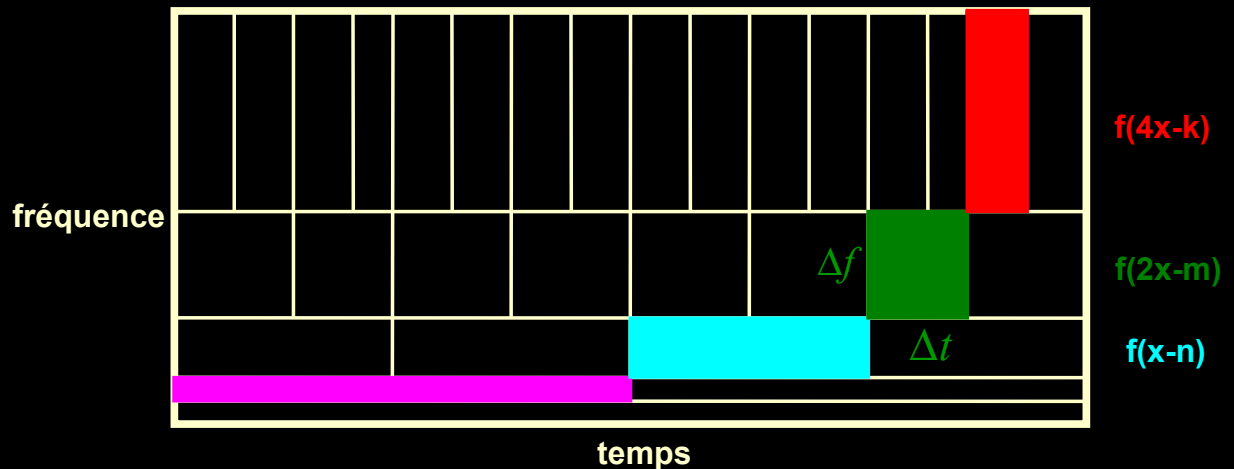
Transformée discrète

- La transformation continue est redondante mais il est possible de reconstruire à partir de *valeurs discrètes* de u et de s
- En général on utilisera un échantillonnage *dyadique*

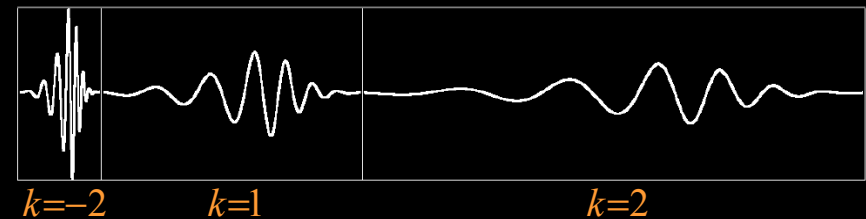
$$s = 2^k$$

$$u = 2^k l$$

k, l entiers



$$f(t) = \sum_{k=-\infty}^{+\infty} \sum_{l=-\infty}^{+\infty} 2^{-k/2} d_k^l \psi(2^{-k} t - l)$$



- *Principe d'incertitude d'Heisenberg*

$$\Delta t \cdot \Delta f \geq 2\pi$$

Espaces vectoriels linéaires

- Espace vectoriel linéaire = ensemble V muni de deux opérations

- une addition $+: V \times V \rightarrow V$
- une multiplication scalaire $\times: R \times V \rightarrow V$

- Satisfaisant aux propriétés suivantes

$$\forall x, y \in V : x + y = y + x$$

$$\forall x, y, z \in V : x + (y + z) = (x + y) + z$$

$$\exists! 0 \in V \mid \forall x \in V : x + 0 = 0 + x = x$$

$$\forall x \in V : \exists! -x \mid x + (-x) = 0$$

$$\forall \alpha \in R, \forall x_1, x_2 \in V : \alpha(x_1 + x_2) = \alpha x_1 + \alpha x_2$$

$$\forall x \in V : 1.x = x$$

- Exemple d'espace vectoriel linéaire : \mathbb{R}^n

$$\forall x = (x_1, \dots, x_n), y = (y_1, \dots, y_n) \in \mathbb{R}^n$$

$$x + y = (x_1 + y_1, \dots, x_n + y_n)$$

$$\forall \alpha \in \mathbb{R}, \alpha x = (\alpha x_1, \dots, \alpha x_n)$$

- Sous-espace vectoriel = ensemble M tel que

$$M \subset V$$

$$\forall x, y \in M : x + y \in M$$

$$\forall \alpha \in \mathbb{R}, \forall x \in M : \alpha x \in M$$

- Espace vectoriel normé = espace vectoriel muni d'une fonction à valeur réelle définie sur V et notée $\|.\|$ telle que

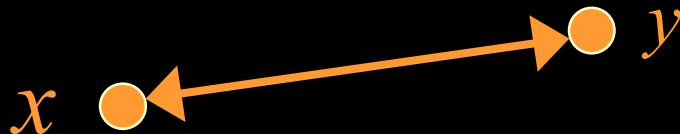
$$\forall x \in V : \|x\| > 0$$

$$\forall x \in V : \|x\| = 0 \Leftrightarrow x = 0$$

$$\forall \alpha \in R, \forall x \in V : \|\alpha x\| = |\alpha| \cdot \|x\|$$

$$\forall x, y \in V : \|x + y\| \leq \|x\| + \|y\|$$

- Distance entre deux éléments ou vecteurs x et $y = \|x - y\|$



- Exemple d'espace vectoriel normé : \mathbb{R}^n

$$\|x\| = \left(|x_1|^p + \dots + |x_n|^p \right)^{\frac{1}{p}}$$

- Différents espaces vectoriels normés pour les différentes valeurs de p

- Norme L_1 $\|x\| = |x_1| + \dots + |x_n|$

- Norme L_2 $\|x\| = \sqrt{x_1^2 + \dots + x_n^2}$

- Norme L_∞ $\|x\| = \max(|x_i|)$

- Produit scalaire = fonction $\langle x|y \rangle : V \times V \rightarrow R$ telle que

$$\forall x, y, z \in V : \langle x|(y+z) \rangle = \langle x|y \rangle + \langle x|z \rangle$$

$$\forall x, y \in V, \forall \alpha \in R : \langle x|\alpha y \rangle = \alpha \langle x|y \rangle$$

$$\forall x \in V : \langle x|x \rangle \geq 0$$

$$\forall x \in V : \langle x|x \rangle = 0 \Leftrightarrow x = 0$$

- Tout espace muni d'un produit scalaire définit un espace vectoriel normé en posant

$$\forall x \in V : \|x\| = \langle x|x \rangle^{\frac{1}{2}}$$

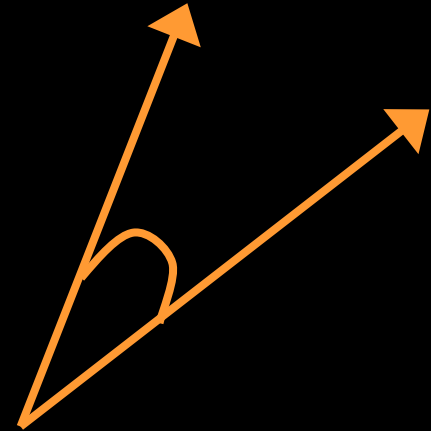
- Une telle norme vérifie *l'inégalité de Schwartz*

$$\forall x, y \in V : \langle x|y \rangle \leq \|x\| \cdot \|y\|$$

- Exemple avec \mathbb{R}^n

$$\langle x|y \rangle = \sum_{i=1}^n x_i \cdot y_i$$

$$\|x\| = \sqrt{\sum_{i=1}^n |x_i|^2}$$



- Exemple avec $L_2(R)$ espace des fonctions de carré intégrable définies sur $[a,b]$

$$\langle f|g \rangle = \int_a^b fg dt$$

$$\|f\| = \sqrt{\int_a^b |f|^2 dt}$$

- Espace de Hilbert
 - espace vectoriel linéaire muni d'un produit scalaire dont l'espace vectoriel normé associé est *complet*
 - toute séquence d'éléments qui converge, converge vers un élément de l'espace
- Par exemple \mathbb{Q} , l'ensemble de nombre rationnels, n'est pas un espace de Hilbert

$$S_1 = 1$$

$$S_n = \sum_{i=1}^n \frac{1}{i!}$$

$$\lim_{n \rightarrow \infty} S_n = e \notin \mathbb{Q}$$

- Analyse multirésolution = séquence $V_0 \subset V_1 \subset \dots$ d'espaces de Hilbert fermés et emboîtés telle que

$$V_j \subset V_{j+1} \text{ dense dans } L_2$$

$$\bigcup_j V_j$$

$$\exists \{ \varphi_j^k, k \in K(j) \} \text{ est une base de Riesz de } V_j$$

$$K(j) \subset K(j+1)$$

- La première propriété implique l'équation de raffinement

$$\varphi_j^k = \sum_{l \in K(j+1)} h_j^{k,l} \varphi_{j+1}^l, \quad k \in K(j)$$

- Une fonction d'échelle de niveau j s'exprime comme une somme pondérée des fonctions de niveau supérieur

- Espace vectoriel des fonctions constantes par morceaux sur $[0,1]$
- V_j fonctions composées d'un ensemble de 2^j intervalles

$$\left\{ \mathcal{E}_j^i = \left[\frac{i}{2^j}, \frac{i+1}{2^j} \right], 0 \leq i \leq 2^j - 1 \right\}$$

- V_0 = espace des fonctions constantes sur $[0,1]$
- V_1 = espace des fonctions à deux coefficients, constantes par

morceaux sur $\left[0, \frac{1}{2} \right]$ et $\left[\frac{1}{2}, 1 \right]$

Analyse multirésolution

- Toute fonction de $V_{j-1} \in V_j$, il suffit d'affecter la valeur de la fonction sur chaque intervalle \mathcal{E}_{j-1}^i aux deux sous intervalles \mathcal{E}_j^{2i} , \mathcal{E}_j^{2i+1}
- Les fonctions carrées définies sur \mathcal{E}_j^i forment une base de V_j

$$\varphi(x) = \begin{cases} 1, & x \in [0,1] \\ 0, & x \notin [0,1] \end{cases}$$

$$\varphi_j^i(x) = \varphi(2^j x - i), \quad i = 0, \dots, 2^j - 1$$



- On peut projeter une fonction $f \in V_j$ sur cette base

$$f = \sum_k a_j^k \varphi_j^k \quad , \quad a_j^k = \langle f | \varphi_j^k \rangle \quad \text{coefficients d'échelle}$$

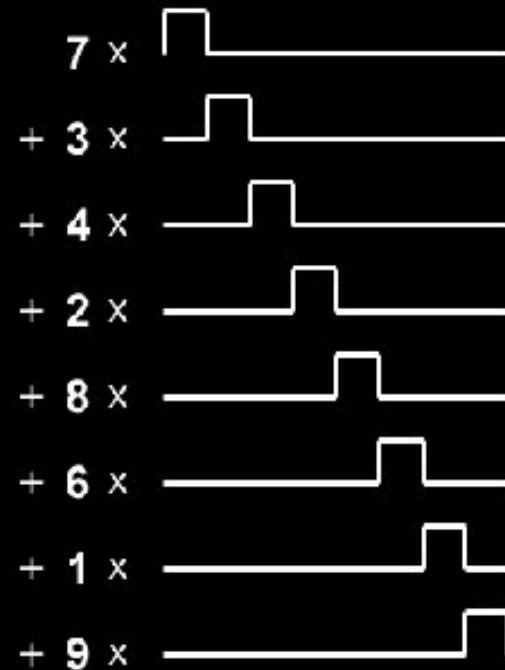
- A partir de l'équation de raffinement les coefficients de la projection pour les niveaux inférieurs se calculent
- Décomposition *hiérarchique* ou *multirésolution*
 - *approximations* de f à différents niveaux
 - comme $V_j \subset V_{j+1}$ mais pas la réciproque, de l'information manque pour la reconstruction inverse (du + bas au + haut niveau)

Analyse multirésolution

- Exemple des fonctions constantes par morceaux

7 3 4 2 8 6 1 9

V_3
 \Rightarrow



- Les ondelettes encodent les *détails*

$$f = \sum_m d_j^m \psi_j^m \quad , \quad d_j^m = \langle f | \psi_j^m \rangle \quad \text{coefficients d'ondelettes}$$

- Elles forment une base $\{ \psi_j^m , m \in M(j) \}$ du complémentaire de V_j dans V_{j+1} :

$$V_{j+1} = V_j \oplus W_j$$

- Equation similaire à l'équation de raffinement car $W_j \subset V_{j+1}$

$$\psi_j^m = \sum_{l \in M(j+1)} g_j^{m,l} \phi_{j+1}^l \quad , \quad m \in M(j)$$

Analyse multirésolution

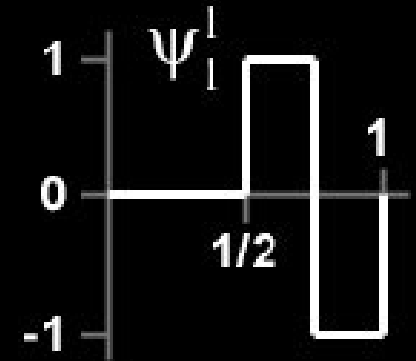
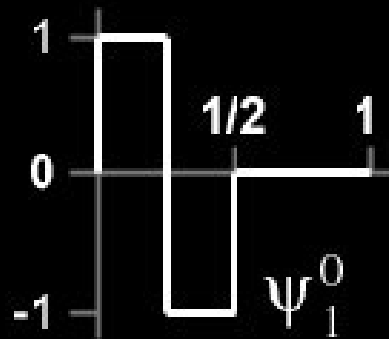
- Exemple des fonctions constantes par morceaux

$$\psi(x) = \begin{cases} 1, & x \in [0, 1/2] \\ -1, & x \in [1/2, 1] \\ 0, & x \notin [0, 1] \end{cases} \quad \text{Ondelette de Haar}$$

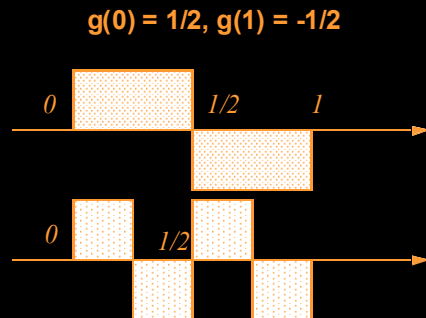
$$\psi_j^i(x) = \psi(2^j x - i), \quad i = 0, \dots, 2^j - 1$$

$$V_2 = V_1 \oplus W_1$$

W_1



- Filtres



$$\psi(x) = 2g(0)\phi(2t) - 2g(1)\phi(2t - 1)$$

- Une fonction d'échelle de niveau $j+1$ peut s'exprimer sous la forme d'une combinaison linéaire de fonctions d'échelle et d'ondelettes plus grossières (niveau j)

$$\varphi_{j+1}^l = \sum_{k \in K(j)} \tilde{h}_j^{k,l} \varphi_j^k + \sum_{m \in M(j)} \tilde{g}_j^{m,l} \psi_j^m, \quad l \in K(j+1)$$

- Au final une fonction $f \in V_n$ peut s'écrire

$$f = \sum_{k \in K(0)} a_0^k \varphi_0^k + \sum_{j=0}^n \sum_{m \in M(j)} d_j^m \psi_j^m$$

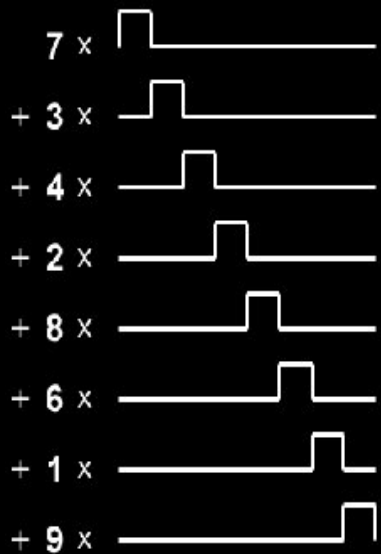
- Dans le cas fini, la transformée par ondelettes se résume à un *filtrage* ou une *convolution* (notation matricielle)

Analyse multirésolution

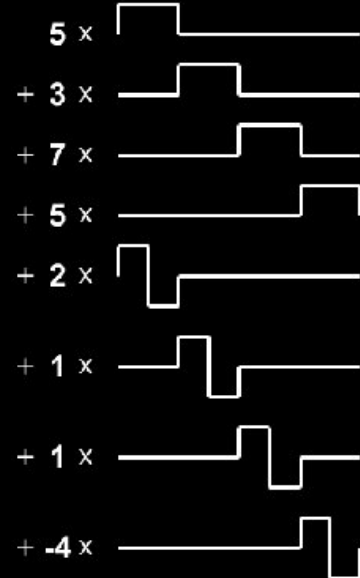
- Exemple des fonctions constantes par morceaux

7 3 4 2 8 6 1 9

V_3



V_2



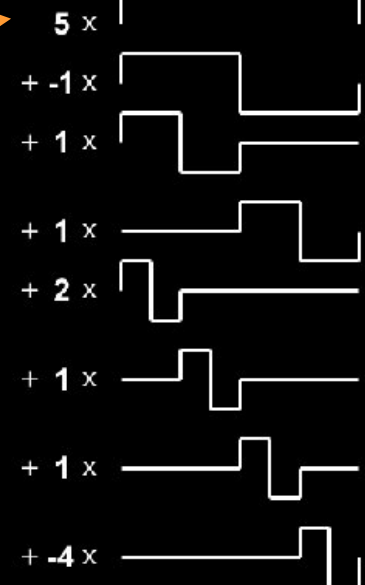
V_1

W_1



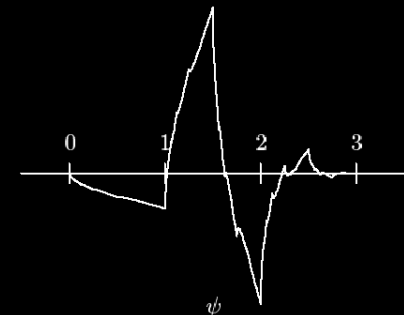
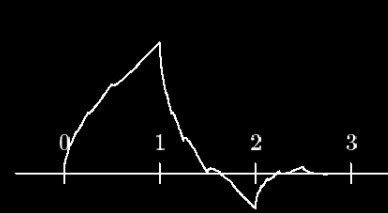
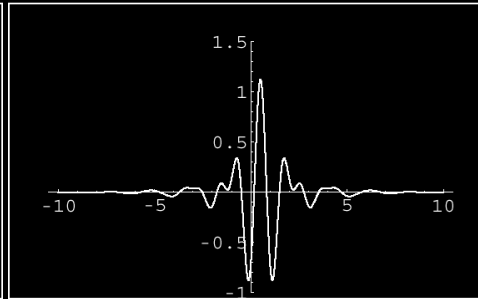
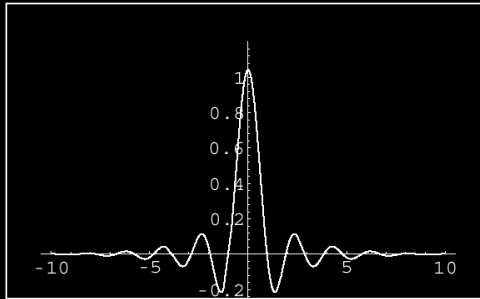
V_0

W_0



Analyse multirésolution

- Il existe de nombreuses *familles* d'ondelettes

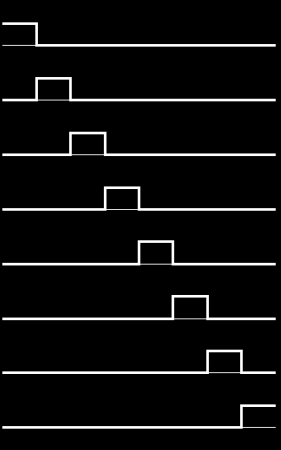


ϕ

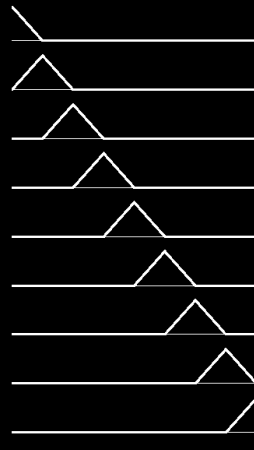
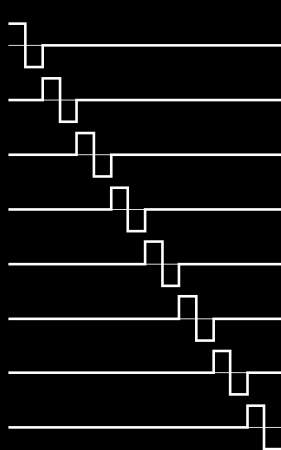
ψ

Meyer

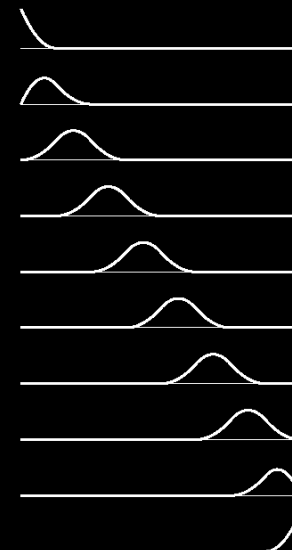
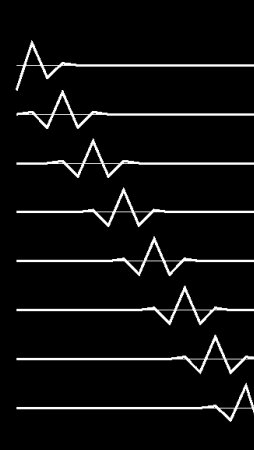
Daubechies



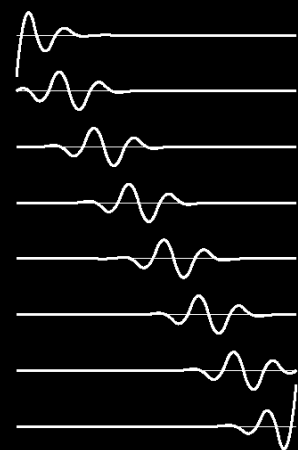
Haar



Bspline linéaire



Bspline quadratique



Processus d'analyse/synthèse

- Etape de la transformée ou du *processus d'analyse*

$$a_j^k = \sum_{l \in K(j)} \tilde{h}_j^{k,l} a_{j+1}^l$$

$$d_j^m = \sum_{l \in M(j)} \tilde{g}_j^{m,l} a_{j+1}^l$$

- Le filtre défini par les \tilde{h}_i est un filtre *passé-bas* encodant les approximations du signal (basses fréquences)
- Le filtre défini par les \tilde{g}_i est un filtre *passé-haut* encodant les détails du signal (hautes fréquences)
- Etape de la transformée inverse ou du *processus de synthèse*

$$a_{j+1}^l = \sum_{k \in K(j)} h_j^{k,l} a_j^k + \sum_{m \in M(j)} g_j^{m,l} d_j^m$$

$$\Phi_j(x) = [\varphi_j^0(x), \dots, \varphi_j^n(x)]$$

$$\Psi_j(x) = [\psi_j^0(x), \dots, \psi_j^m(x)]$$

Equations de raffinement

$$\Phi_{j-1}(x) = \Phi_j(x)H_j$$

$$\Psi_{j-1}(x) = \Phi_j(x)G_j$$

$$[\Phi_{j-1}(x) | \Psi_{j-1}(x)] = \Phi_j(x)[H_j | G_j]$$

Analyse

$$A_{j-1} = \tilde{H}_j A_j$$

$$D_{j-1} = \tilde{G}_j D_j$$

Haar

$$H^2 = \begin{bmatrix} 1 & 0 \\ 1 & 0 \\ 0 & 1 \\ 0 & 1 \end{bmatrix}$$

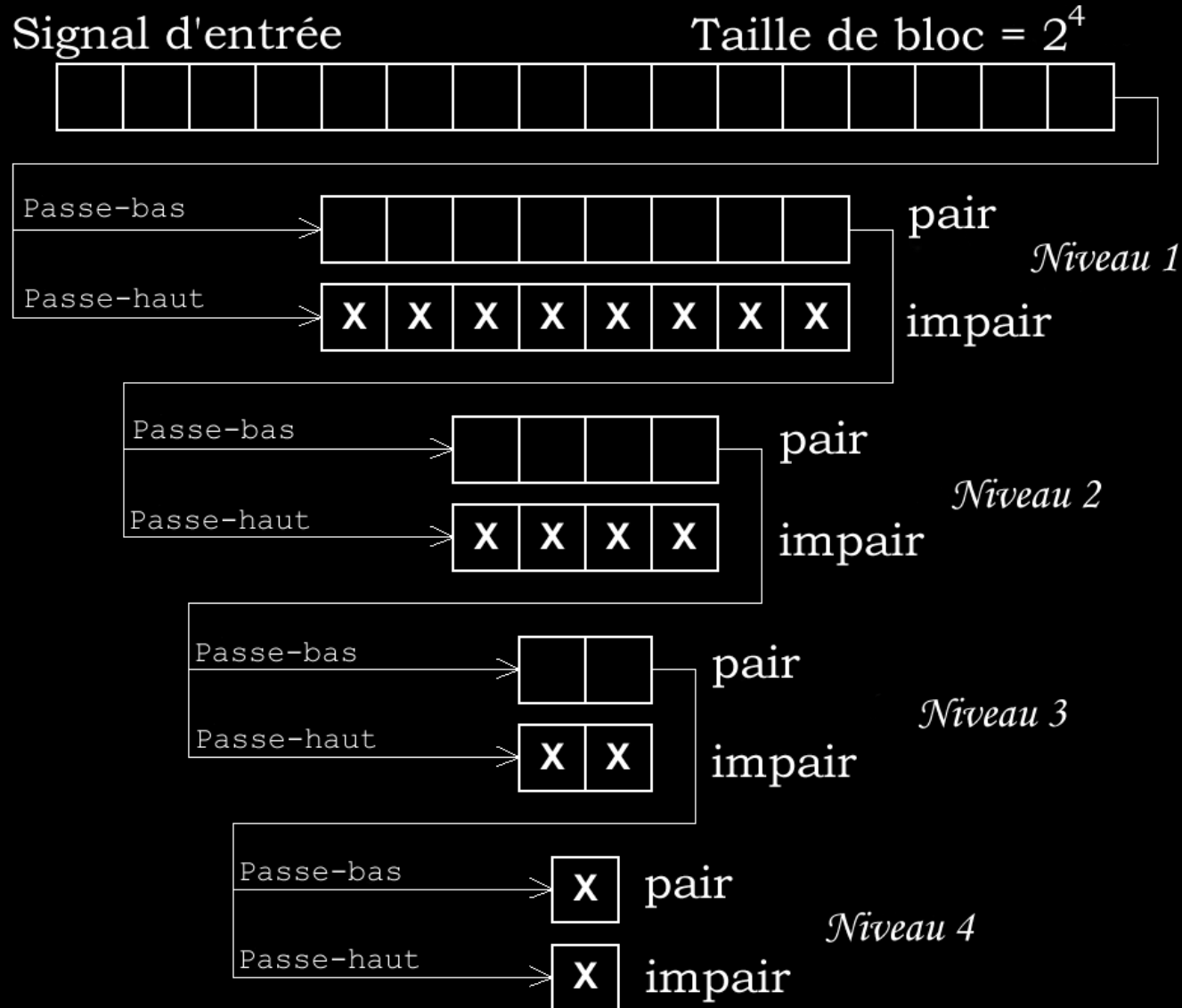
$$G^2 = \begin{bmatrix} 1 & 0 \\ -1 & 0 \\ 0 & 1 \\ 0 & -1 \end{bmatrix}$$

Synthèse

$$A_j = H_j A_{j-1} + G_j D_{j-1}$$

$$\tilde{H}^2 = \frac{1}{2} \begin{bmatrix} 1 & 1 & 0 & 0 \\ 0 & 0 & 1 & 1 \end{bmatrix} \quad \tilde{G}^2 = \frac{1}{2} \begin{bmatrix} 1 & -1 & 0 & 0 \\ 0 & 0 & 1 & -1 \end{bmatrix}$$

Transformée rapide



Aussi appelé algorithme pyramidal de Mallat ou transformée par banque de filtres

Caractéristiques d'une ondelette

- Moment = représentation des fonctions m-dérivables

$$m_i = \langle f | x^i \rangle = \int f x^i dx, i = 0, \dots, n-1$$

- En général moments \sim capacité de compression \sim complexité
- Symétrie/Régularité
- Expression analytique
- Support compact \Rightarrow filtres courts \Rightarrow transformée rapide
- Orthogonalité – Semiorthogonalité – Biorthogonalité $\forall j, k, l$

$$\left\{ \begin{array}{l} \langle \phi_j^k | \phi_j^l \rangle = \delta_{k,l} \\ \langle \psi_j^k | \psi_j^l \rangle = \delta_{k,l} \\ \langle \phi_j^k | \psi_j^l \rangle = 0 \end{array} \right. \quad \langle \phi_j^k | \psi_j^l \rangle = 0 \quad \left\{ \begin{array}{l} \langle \phi_j^k | \tilde{\psi}_j^l \rangle = 0 \\ \langle \psi_j^k | \tilde{\phi}_j^l \rangle = 0 \end{array} \right.$$

Chaque atome encode une information non
représentable par un autre \Rightarrow décomposition unique

$$\tilde{h} = h^T$$

$$\tilde{g} = g^T$$

Filtres orthogonaux \Rightarrow simplification

- Construction / certaines propriétés : *Lifting Scheme*

$$f(x) = \sum_{i=1}^m c_i u_i(x)$$

**Amplitude
des coefficients
d'ondelettes**



**Importance dans
la représentation
du signal**

1. Ordonnancement des coefficients d'ondelettes, permutation π

$$\|c_{\pi(1)}\| \geq \dots \geq \|c_{\pi(m)}\| \quad f(x) = \sum_{i=1}^m c_{\pi(i)} u_{\pi(i)}(x)$$

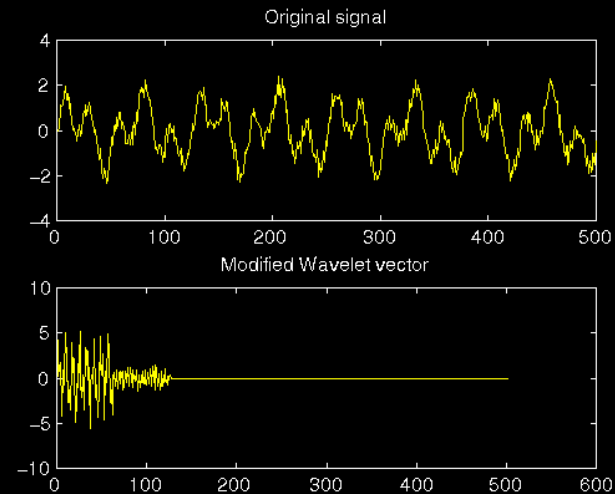
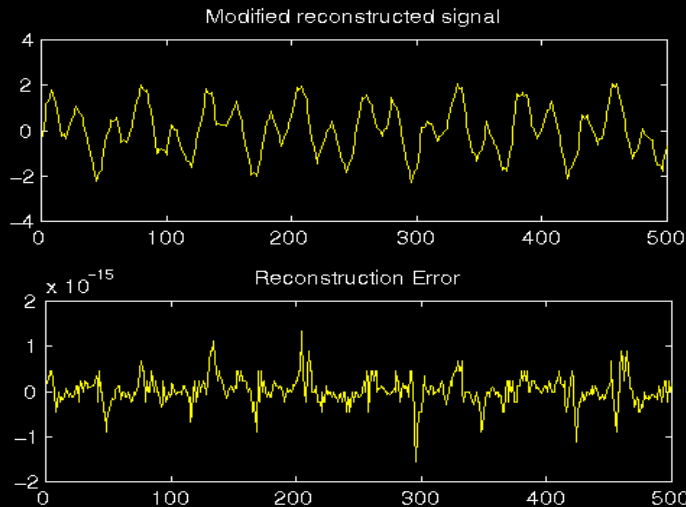
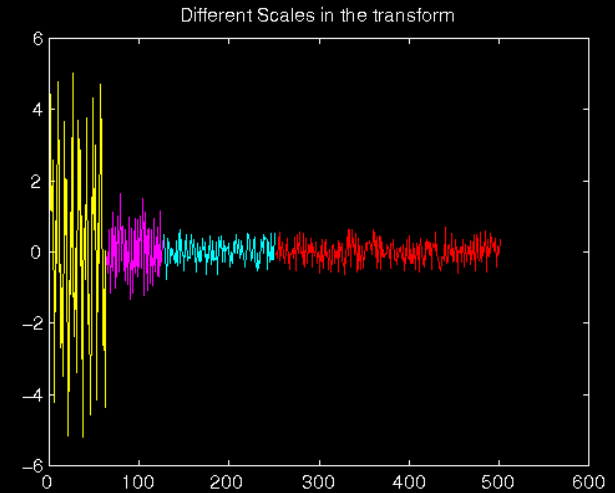
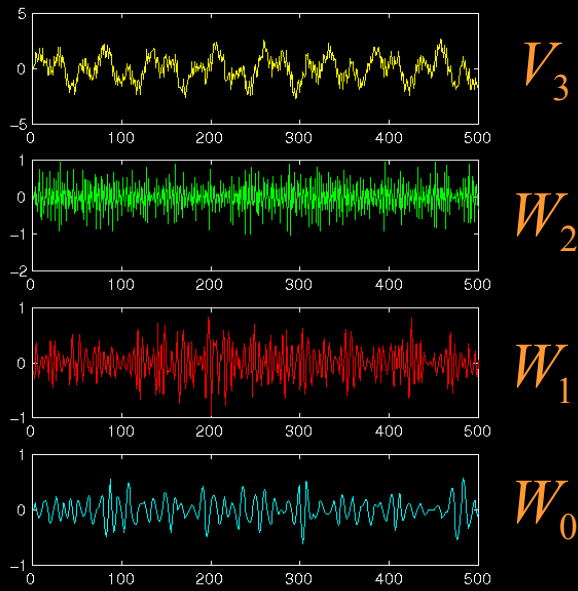
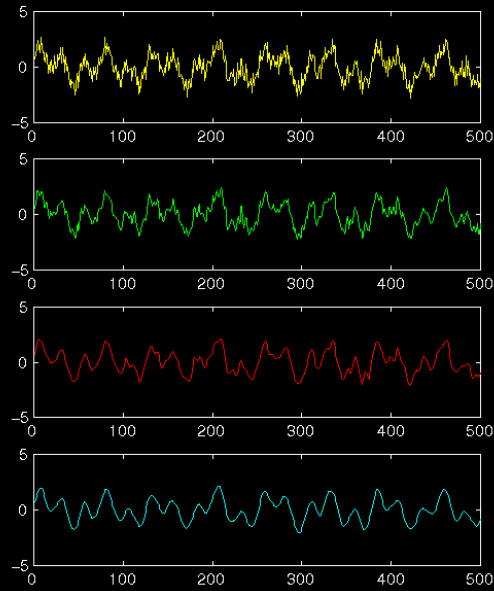
2. Définition d'un *seuil* $\mathcal{E} \iff$ définition d'un indice \hat{m}

$$\sum_{i=\hat{m}+1}^m \|c_{\pi(i)}\|^2 \leq \mathcal{E}^2 \quad \hat{f}(x) = \sum_{i=1}^{\hat{m}} c_{\pi(i)} u_{\pi(i)}(x)$$

3. Suppression des coefficients inférieurs au seuil (~ 0)
4. Calcul de l'erreur (compression avec perte)

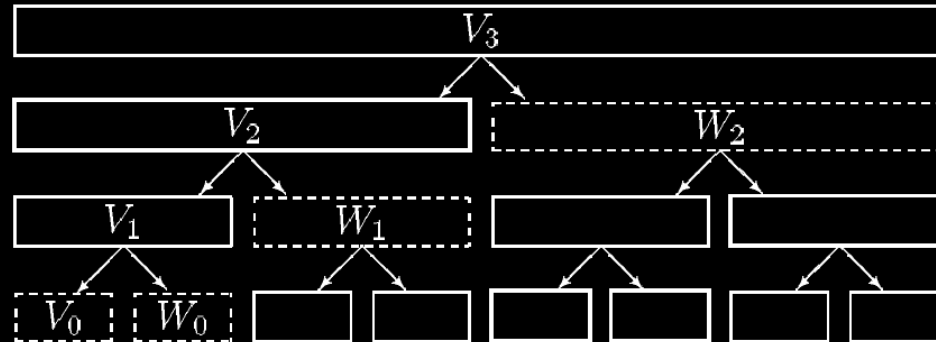
$$\|f - \hat{f}\|^2 = \sum_{i=\hat{m}}^m \|c_{\pi(i)}\|^2$$

Exemple de compression

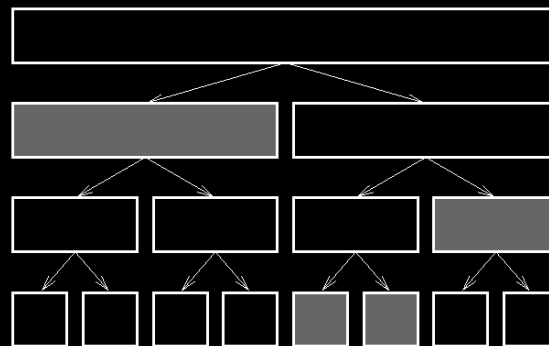


Les paquets d'ondelettes

- Décomposition des V_j et des W_j



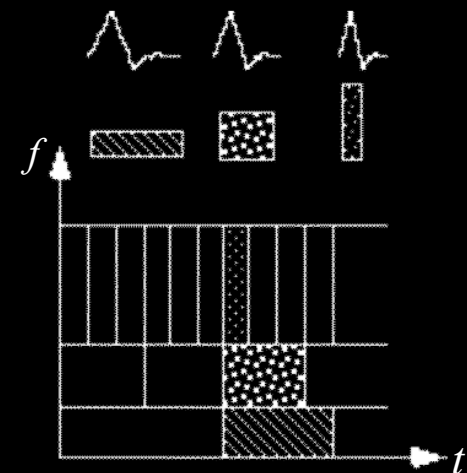
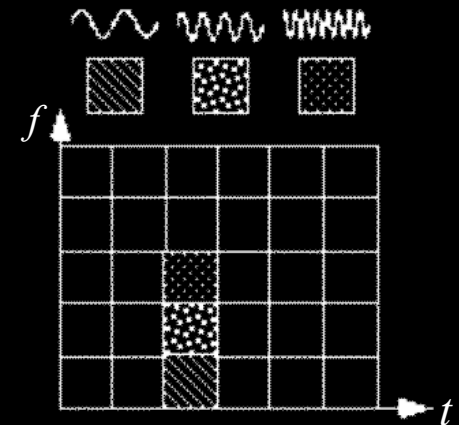
- Choix de la base optimale pour représenter le signal
- Estimation d'après une fonction de coût



- Augmente la complexité

Comparaison avec Fourier

- Fourier
 - atomes à support global
 - sinusoïde progression arithmétique en fréquences
 - analyse en fréquence
 - complexité $O(n \log n)$
- Fourier + fenêtrage
 - atomes à support local
 - analyse temps/fréquence (largeur de fenêtre fixe)
- Ondelettes
 - atomes à support local
 - forme indépendante de l'échelle
 - fréquences en progression géométrique
 - analyse temps/fréquence (largeur de fenêtre variable)
 - complexité $O(n)$



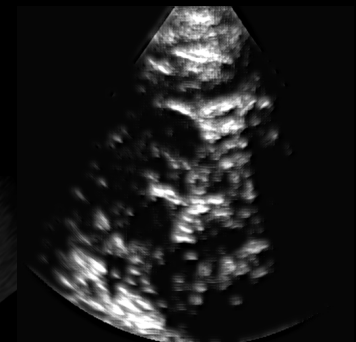
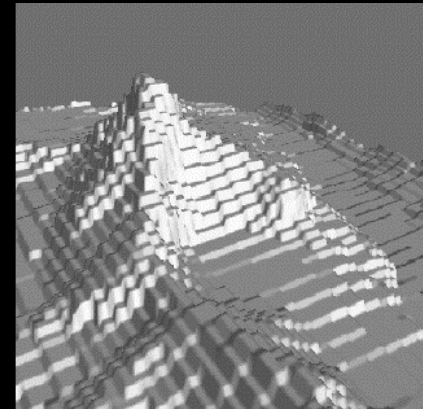
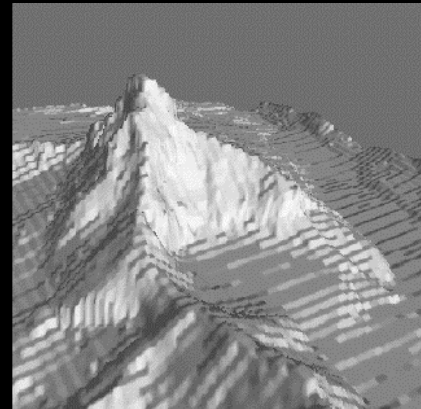
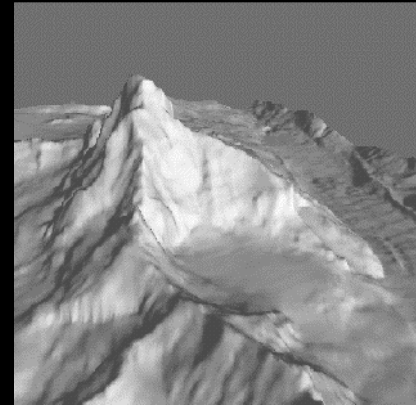
Applications générales

- Astrophysique
- Physique quantique
- Analyse fractale
- Analyse des turbulences/chaos
- Débruitage
- Analyse de la parole/acoustique
- Analyse du système visuel/auditif
- Analyse sismologique

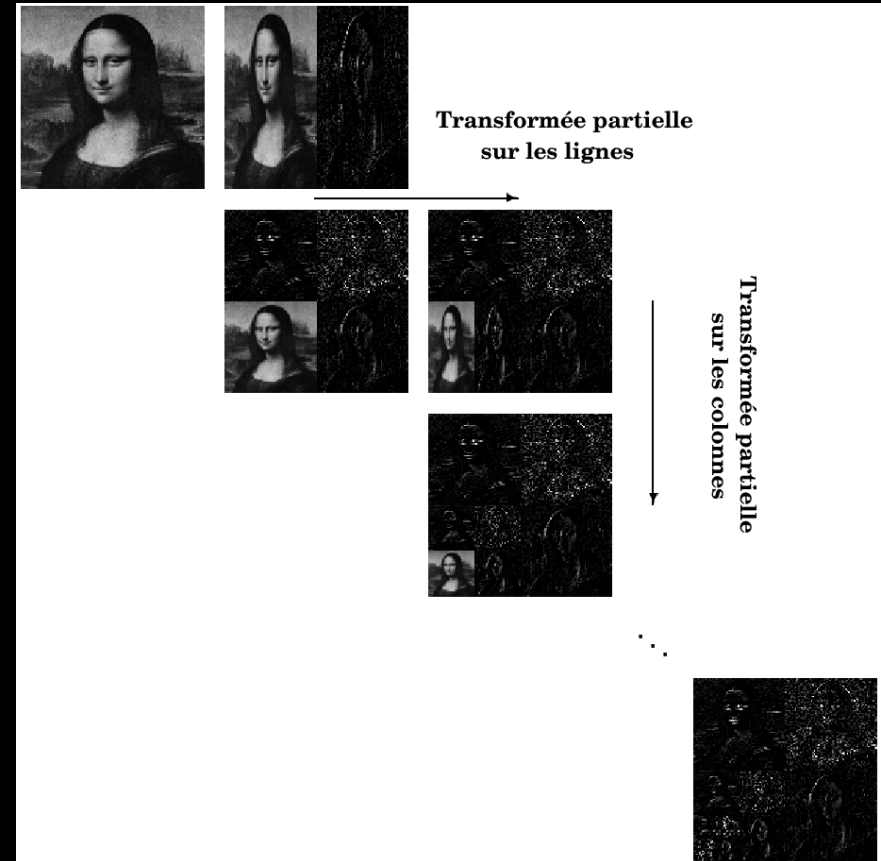
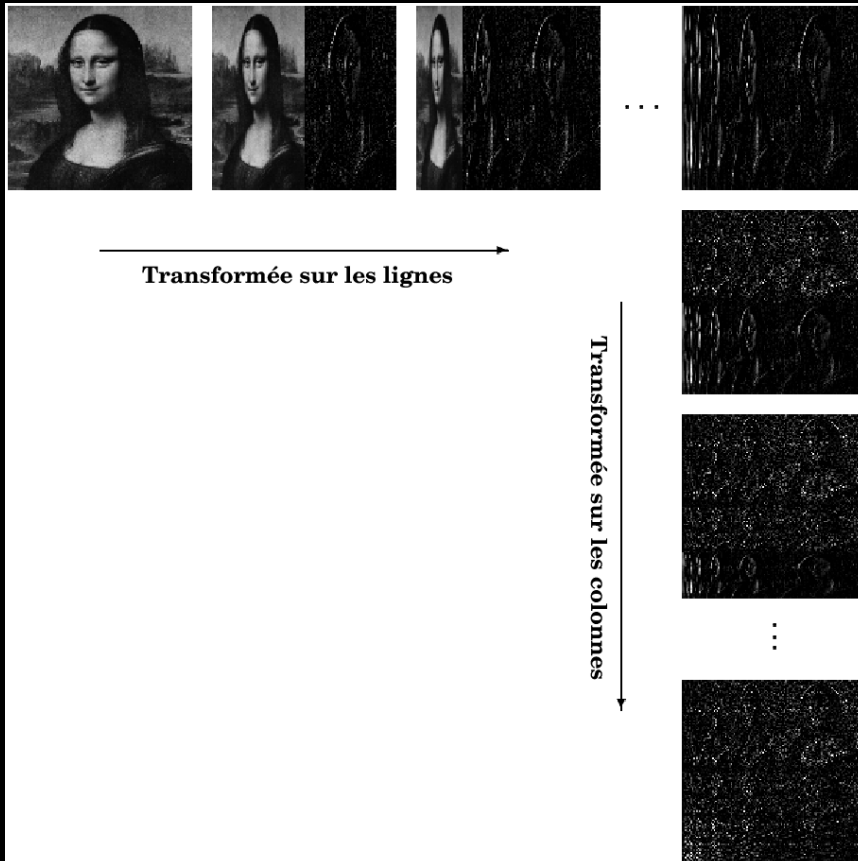


Applications en informatique graphique

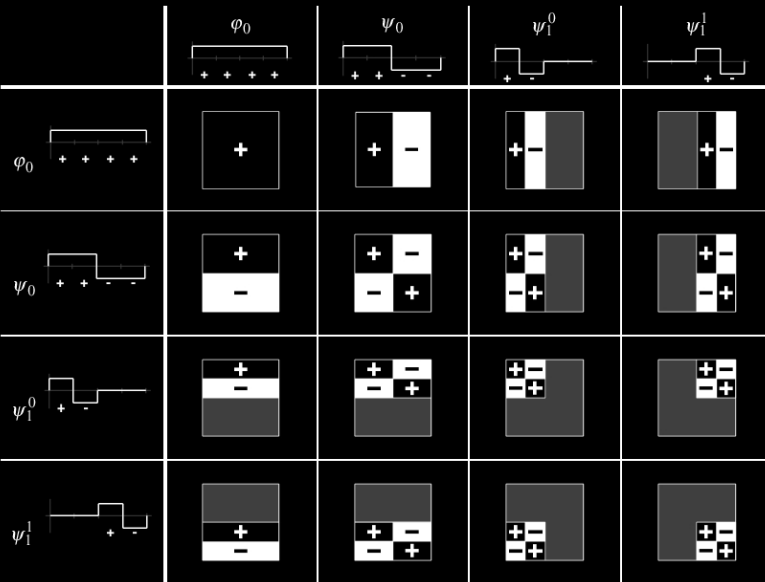
- Compression d'images
 - JPEG 2000
 - FBI
- Analyse d'image
 - suppression de bruit
 - détection des contours
 - reconnaissance
- Compression vidéo
- Maillages (édition/compression)
- Rendu volumique
- Rendu réaliste (radiosité, BRDF)
- Imagerie médicale
- Et beaucoup d'autres choses !



- 2D \Rightarrow deux décompositions possibles
 - standard = composition de transformées
 - non-standard = transformée multidimensionnelle

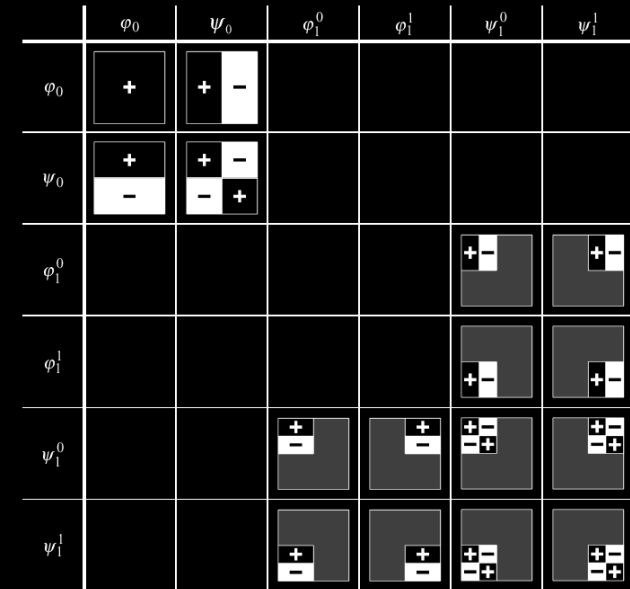


Fonctions de base multidimensionnelles



standard

$$\begin{cases} \varphi\varphi(x, y) \equiv \varphi(x)\varphi(y) \\ \varphi\psi(x, y) \equiv \varphi(x)\psi(y) \\ \psi\varphi(x, y) \equiv \psi(x)\varphi(y) \\ \psi\psi(x, y) \equiv \psi(x)\psi(y) \end{cases}$$

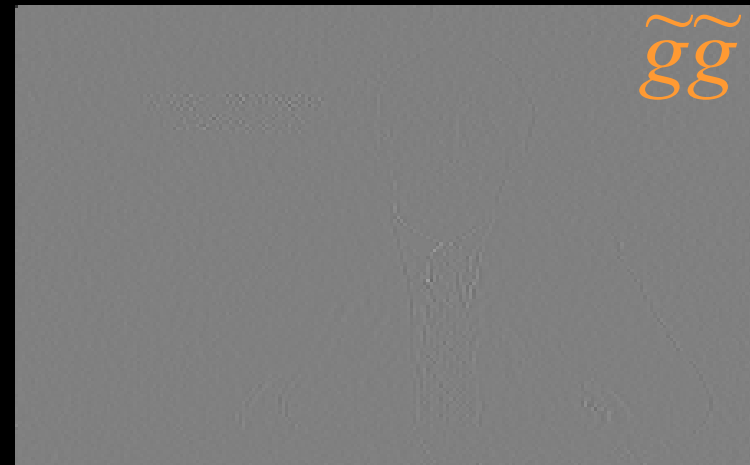
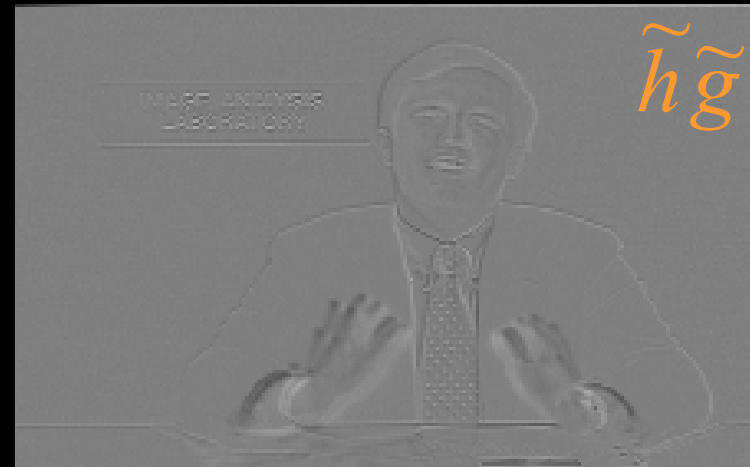


non-standard

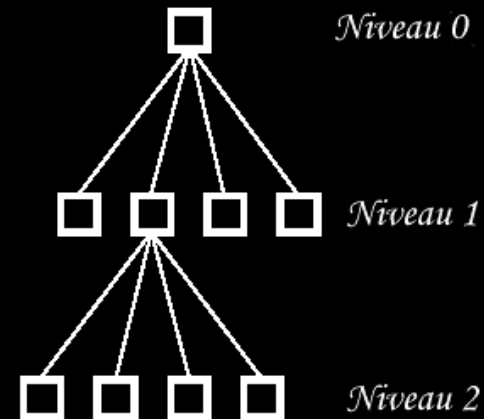
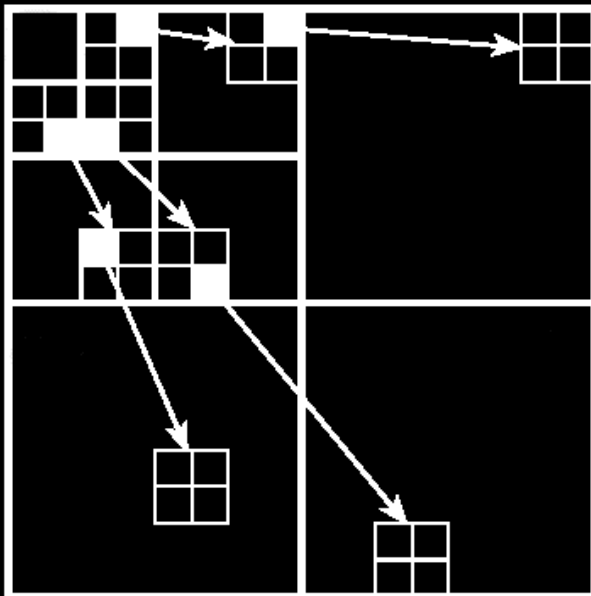
mise en place simple
+ coûteuse
supports variables

$$\frac{8}{3}(n^2 - 1) > 4(n^2 - n)$$

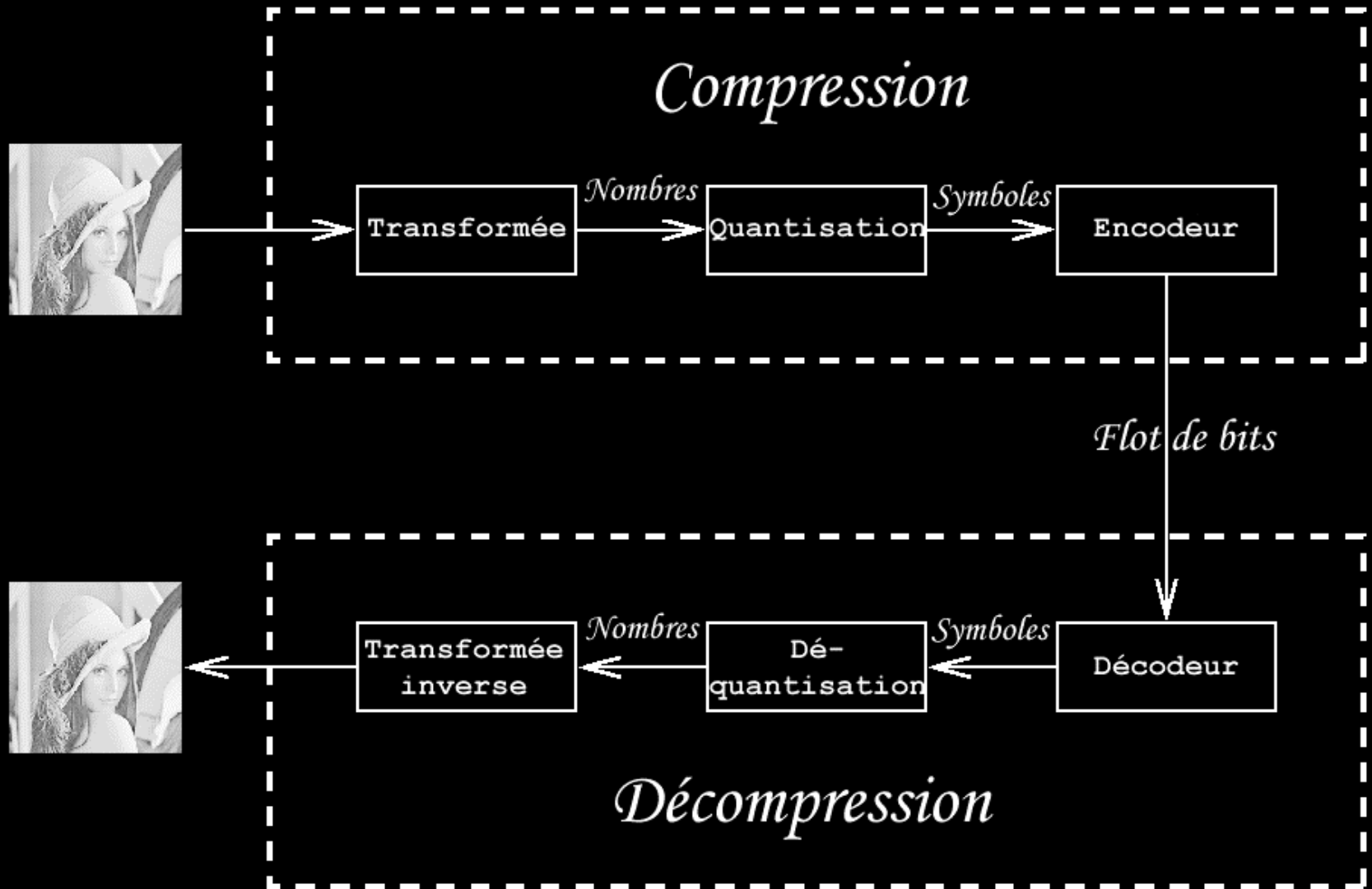
mise en place complexe
+ rapide
supports carrés



- Structure adaptée à la représentation *creuse* fournie par les ondelettes
- Sous forme d'arbre
 - 1D : binaire
 - 2D : quaternaire
- Suppression des branches « vides »



Systeme général



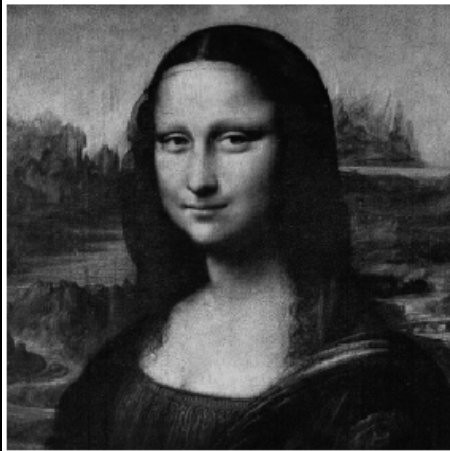
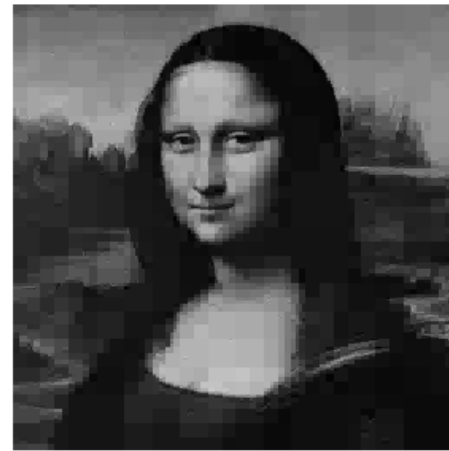


image originale



21% - 5%



4% - 10%



1% - 15%



contour = maxima à toutes les échelles

- Base de donnée d'empreintes digitales
 - 500 points par inch => 1 empreinte ~ 10Mo
 - OK j'ai un gros disque dur !
 - Oui mais moi j'ai 200,000,000 d'empreintes !



ondelettes



JPEG standard

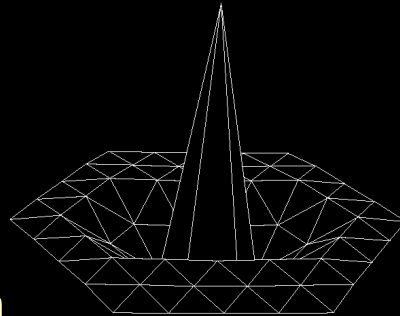
- Compression par ondelettes
 - Filtres Daubechies 9/7
- Evite les écueils de l'ancien standard
 - Pas de découpage en blocs constants 8x8
 - Décodage progressif
 - Régions d'intérêt
 - Encode le Gamma/Copyright
- Pourquoi encore méconnu
 - Payant



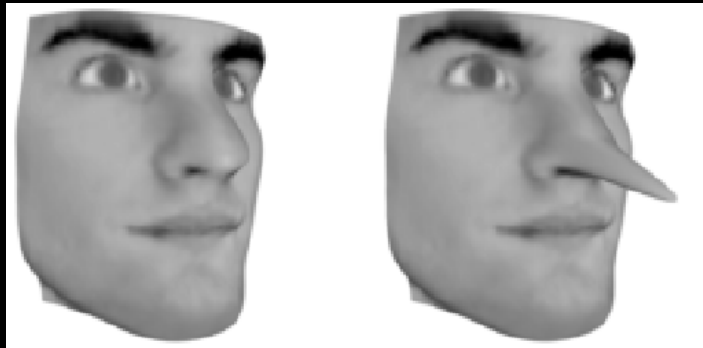
JPEG 2000



- Ondelettes définies sur les triangles ou les sommets
- Compression
- Edition multirésolution



original

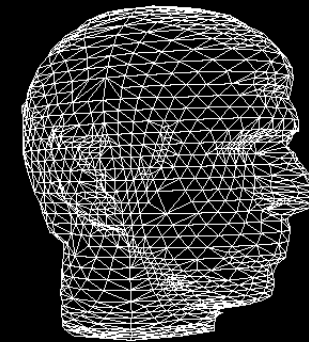


résolution
fine

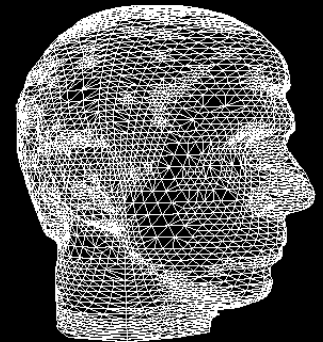
résolution
moyenne



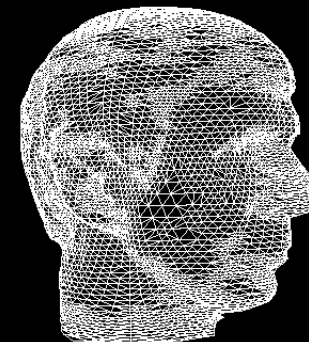
résolution
grossière



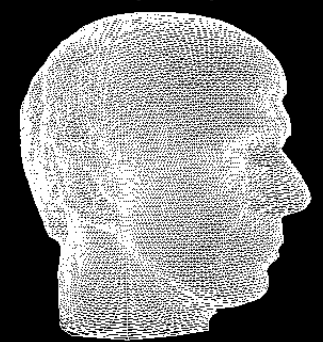
4,000 Triangles



12,000 Triangles

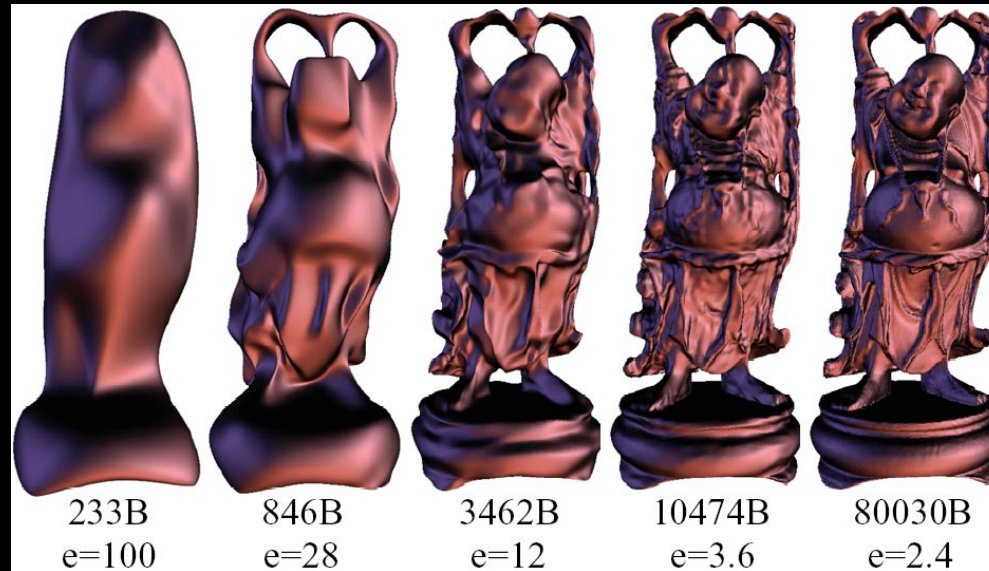


16,000 Triangles



32,000 Triangles

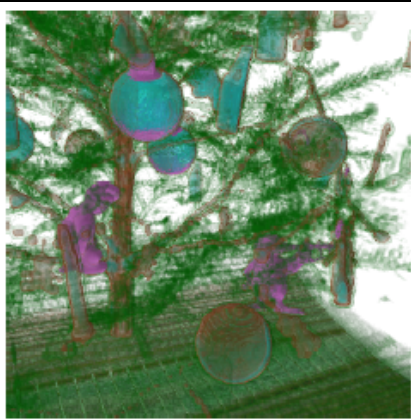
- Transmission progressive (web)



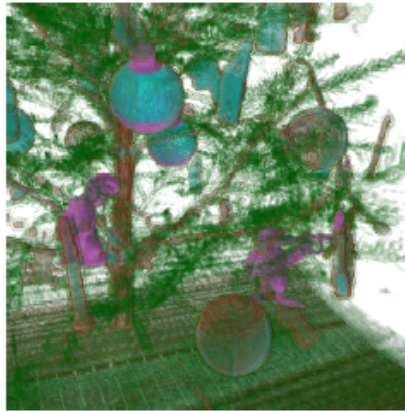
- *Level Of Detail (LOD) ~ Multirésolution*



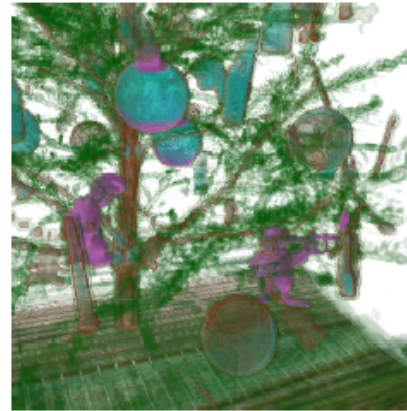
- Jeux de données très importants
 - place disque/mémoire ($512^3 \Rightarrow$ au moins 128Mo)
 - LOD
 - coût d’affichage (software)



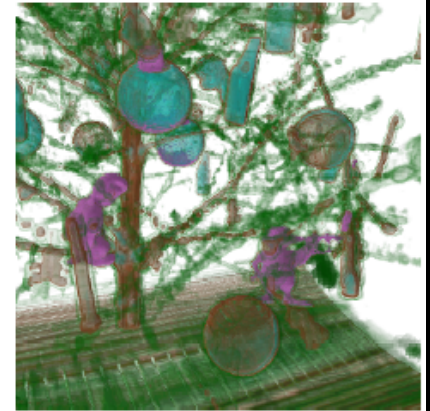
données originales



8.8:1 – 3.3fps

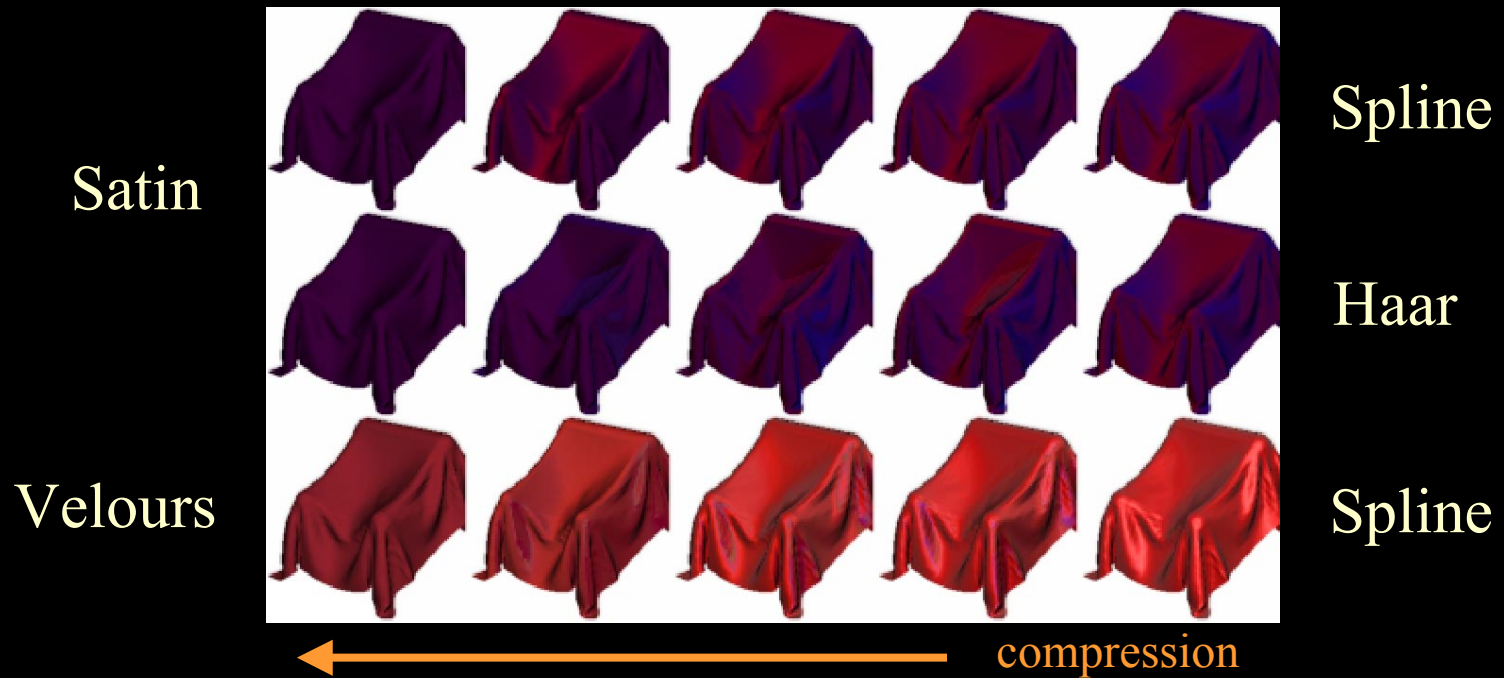
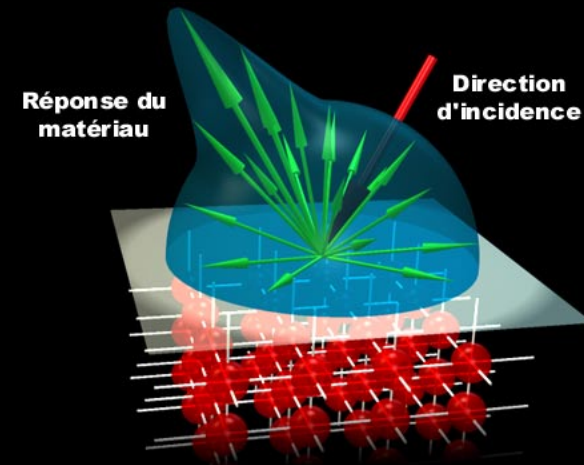


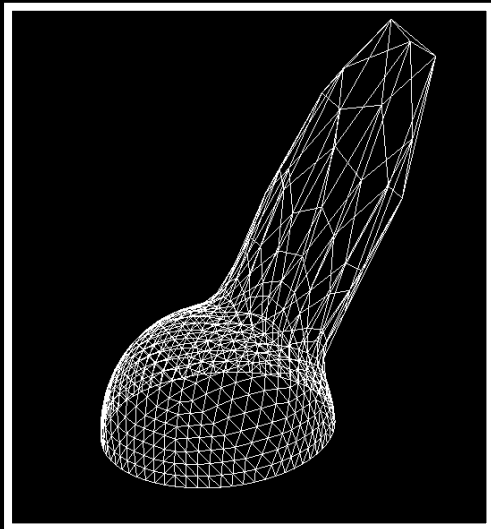
66:1 – 6.6fps



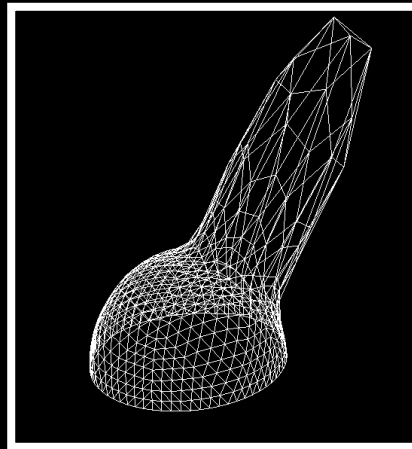
195:1 – 9.5fps

- Compression de données physiques
 - Spectres
 - BRDFs
 - Emissions
- Optimise la résolution de l'équation du rendu
 - Inversion numérique rapide

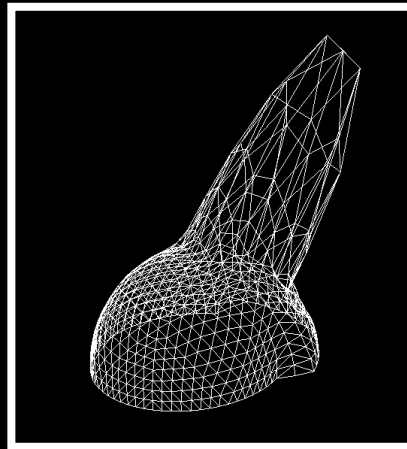




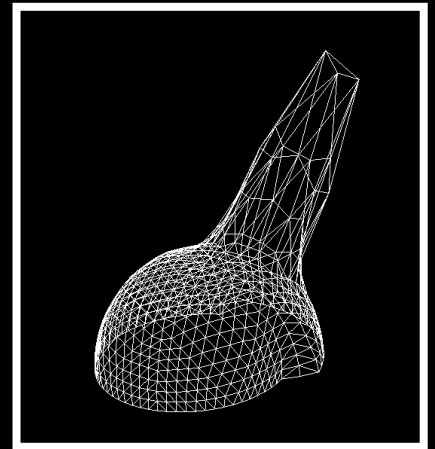
BRDF
originale



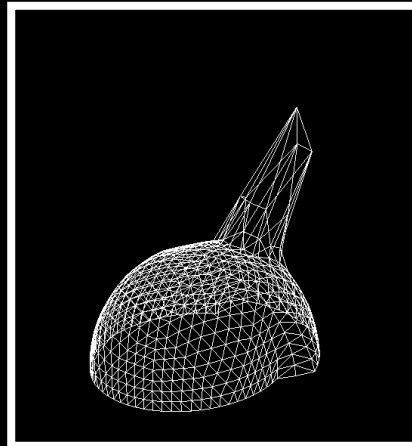
90%
0.0027



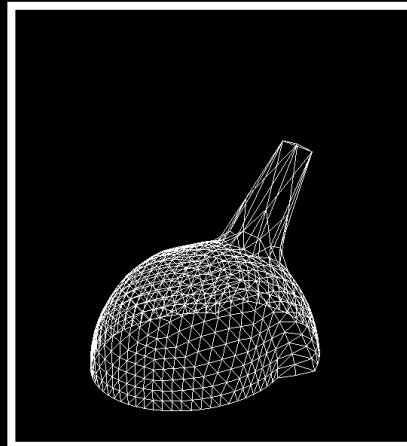
95%
0.016



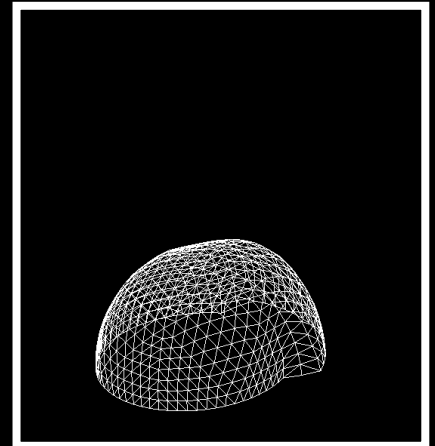
97%
0.021



98%
0.03



99%
0.037



100%
0.042

- Projection sur une base d'ondelettes
 - luminance
 - radiosité



- Lire
 - « Ten Lectures on Wavelets » , Ingrid Daubechies
 - « A Wavelet Tour of Signal Processing » , Stéphane Mallat
 - « Wavelets for Computer Graphics » , Eric J. Stollnitz
- Consulter
 - <http://www.wavelet.org>
 - <http://www.ondelette.com>
 - <http://www.amara.com/current/wavelet.html>
 - <http://stat.stanford.edu/~wavelab>
 - <http://www.multires.caltech.edu/>
 - <http://www.cs.nyu.edu/cs/faculty/mallat/>
 - <http://faculty.gvsu.edu/aboufade/web/dw.htm>